

7. Stabilität und Zunahme biologischer Information

Beobachtungen aus Reagenzglas-Evolution (Bakterien, Viren) und aus ALife-Experimenten lassen sich z.T. theoretisch untermauern

typisches Szenario in Experimenten mit genomischer Evolution:

- Genom mit (aktuell) höchster Fitness dominiert die Population
- durch Mutationseinfluss bildet sich Cluster nahe verwandter Sequenzen "um dieses Genom herum" (im Sinne genetischer Distanz) – "Quasispezies" (Begriff von M. Eigen)
- wenn Mutationsrate zu hoch: Quasispezies zerfällt, Information kann nicht dauerhaft gespeichert werden: "Fehlerkatastrophe"

2 widerstreitende Anforderungen:

- um mehr Information aus der Umwelt zu speichern (z.B. Lösung komplexer Aufgaben), müssen die Genom-Strings *länger* werden
- um die Information erfolgreich in die nächste Generation weitergeben zu können, dürfen sie *nicht zu lang* werden (Informationsweitergabe muss genau genug sein)

Sei \mathcal{E}_{best} die Selbstreplikationsrate des fittesten Genoms, $\langle \mathcal{E} \rangle$ die durchschnittliche Selbstreplikationsrate in der Population.

"Superiorität" der besten Sequenz: $S_{best} = \frac{\mathcal{E}_{best}}{\langle \mathcal{E} \rangle}$.

Bei gegebener Mutationsrate R (pro Position im Genom) und Genomlänge L ist die Wahrscheinlichkeit einer erfolgreichen Kopie der besten Sequenz: $F = (1 - R)^L$.

Der Erwartungswert der Nachkommenzahl ist dann:

$$E = s_{best} \cdot F = s_{best} \cdot (1 - R)^L$$

(Herleitung siehe Adami 1999, S. 278 f.)

Die Sequenz stirbt aus, wenn $E \leq 1$ ist, oder, gleichwertig, wenn gilt:

$$L \geq \frac{-\ln s_{best}}{\ln(1 - R)} \approx \frac{\ln s_{best}}{R} =: L_T$$

L_T heißt die *Eigen'sche Fehlerschranke*.

Beispiele aus der realen Biologie:

einfache RNA-Replikation "in vitro": $R \approx 5 \%$, $L_T = 10$ bis 100

katalysierte Phagen-Replikation: $R \approx 0,01 \%$, $L_T = 1000$ bis 10000

Replikation in Bakterien (mit Reparaturenzymen): $R \approx 0,00001 \%$, $L_T = 10^6$ bis 10^7

Eukaryonten: noch besser

Auflösung nach der kritischen Mutationsrate, wenn Genomlänge L vorgegeben:

$$R < \frac{\ln s_{best}}{L}$$

Wenn Insertions- und Deletionsmutationen berücksichtigt werden (Wahrscheinlichkeit P), ist die Fehlerschranke zu modifizieren (Adami 1999, S. 293):

$$L_T = \frac{\ln s_{best}}{R} - \frac{2P}{R(1 - R)^L}$$

2 Regimes:

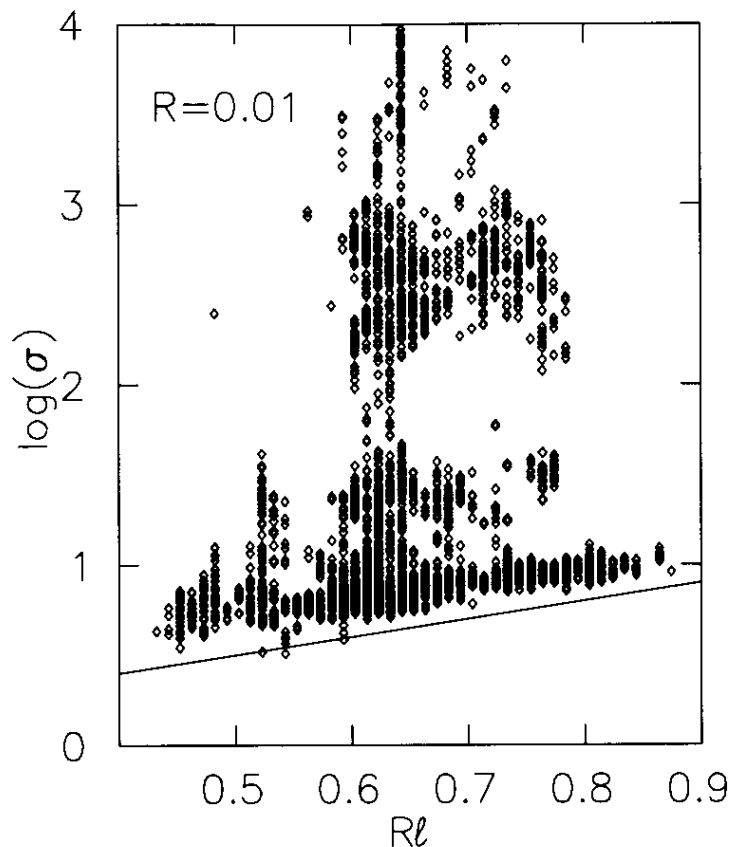
- Mutationsrate unter der krit. Grenze: Quasispezies bleibt (vorläufig) erhalten
- Mutationsrate darüber: Quasispezies geht verloren; was danach passiert, hängt von der Fitnesslandschaft ab

physikalische Analogie (theoretisch begründbar): Phasenübergang zweiter Ordnung ("freezing transition"), trennt geordnetes von ungeordnetem Regime (*Ising-Modell*; s. Adami 1999, S. 279 ff.)

Bestätigung der Fehlergrenze in Avida-Testläufen:

- zahlreiche Läufe mit fester Mutationsrate
- 50 000 Update-Schritte; Annahme: danach Gleichgewichtszustand erreicht
- Durchschnittswerte von L und $\log s_{best}$ für die letzten 1000 Schritte werden ermittelt (scheiden aus, wenn Varianzen zu groß – dann kein Gleichgewicht)

Ergebnis:



(aus Adami 1999)

(durchgezogene Linie = theoretische Fehlergrenze)

Anpassungsfähigkeit einer Population:

"adaptability" = Rate, mit der die Population Information aus ihrer Umgebung aufnimmt und in biologische (Genom-) Information umsetzt

z.B. bei schrittweiser Lösung einer bestimmten Aufgabe.

auch "Lernrate" genannt (Vorsicht: evolutives "Lernen" gemeint, kein Lernen des Individuums!)

Unter welchen Bedingungen ist die Anpassungsrate maximal?

Maß für die Anpassungsrate:

"learning fraction" = über größere Anzahl von Testläufen gemittelter Anteil "erfolgreicher" Läufe, wenn diese nach fester "cutoff time" abgebrochen werden.

$$f_X(R) = \frac{m}{n}$$

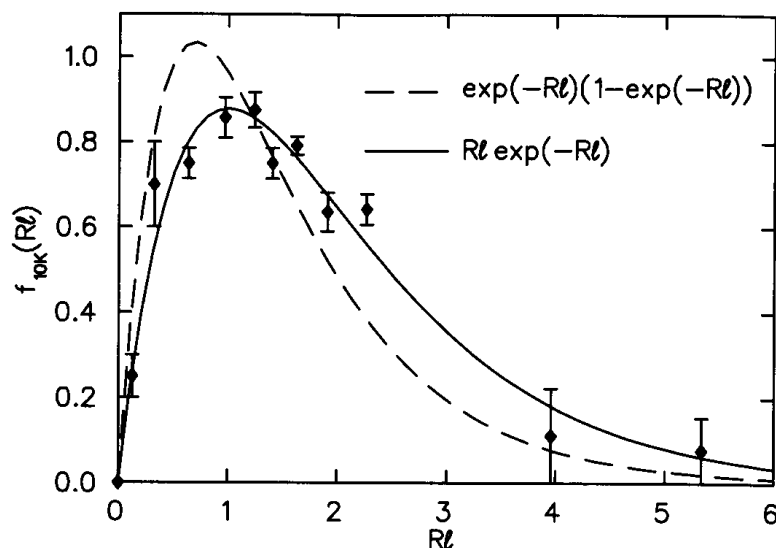
(X = cutoff time, R = Mutationsrate, n = Anzahl der Testläufe, m = Anzahl erfolgreicher Läufe)

Aufgabe gilt als erfolgreich gelöst zu dem Zeitpunkt, wenn der dominierende Genotyp diese Aufgabe zum ersten Mal beherrscht.

Beispiel:

Nur copy-Mutationen,

NOT-task in Avida, 40×40-Gitter, $X = 10\,000$ updates, R variiert von 0,0025 bis 0,06. 20 Läufe für jede Mutationsrate.



offenbar gilt $f(R) \propto RLe^{-RL}$, Maximum der Anpassungsrate bei $RL = 1$

⇒ wenn allein Kopiermutationen vorkommen, findet effektivste Anpassung statt, wenn im Durchschnitt genau 1 Mutation pro String auftritt.

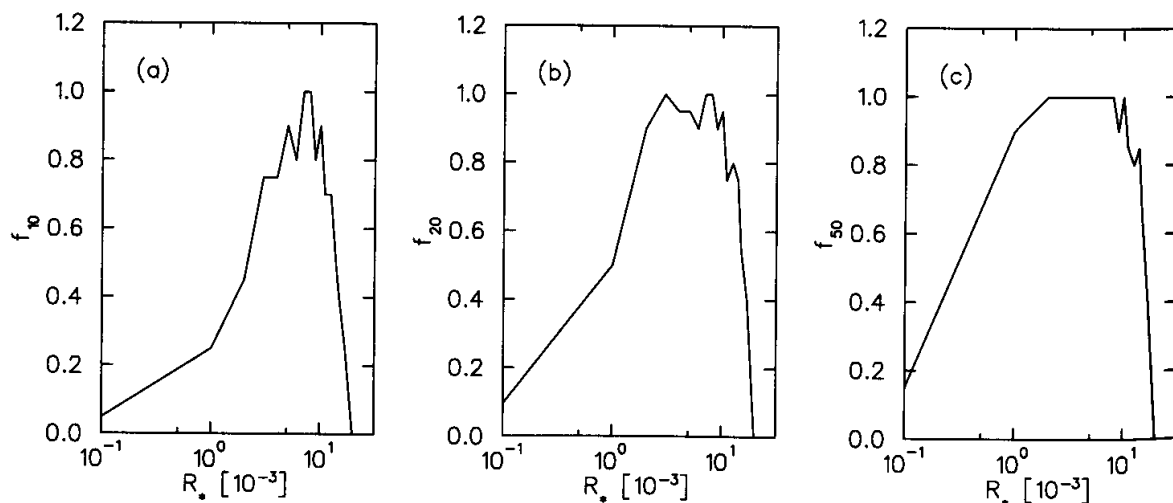
(empirisches Ergebnis; Theorie würde eher für $RL = \ln 2$ sprechen; s. gestrichelte Linie.)

Beachte: wenn es allein copy-Mutationen gibt, kann die Population auch noch bei Raten weit über dem Optimum die Aufgabe (gelegentlich) lösen (Mutter-Programm funktioniert weiter, auch wenn alle Töchter durch Mutation "verdorben" sind)

– anders bei Punktmutationen:

Lösung einer Additionsaufgabe unter (ausschließlich) Punktmutationen (cosmic ray mutations) in Avida
verschiedene cutoff-Zeiten: (a) $X = 10\ 000$, (b) $X = 20\ 000$,
(c) $X = 50\ 000$ Updates

Mutationsrate R gegen Anpassungsrate f .



steile rechte Flanke = Fehlerschranke!

Beachte: optimale Anpassungsrate liegt nah bei der Fehlerschranke.

Adami: "learning happens most effectively if the population is almost but not quite melting from the mutational pressure, a population balanced at the edge of chaos – swayed, but holding on."

Vermutung (Eigen 1971):
 die Genome beeinflussen ihre Fitnesslandschaft, in der sie
 evolvieren, so, dass ihre Anpassungsrate maximal wird.

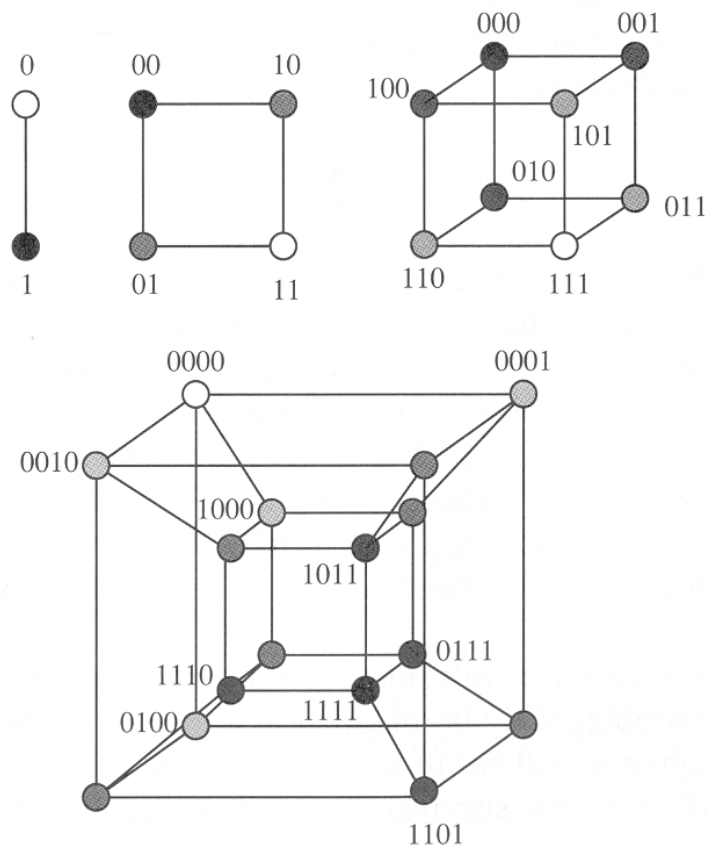
"Evolution to the edge of chaos"

Bestätigung einer Konvergenz zur Fehlerschranke für spezielle,
 für die Theorie gut zugängliche, feste Fitnesslandschaften (s.
 Adami S. 285 ff.).

Dynamik der Anpassung hängt stark von der Struktur der
 Fitnesslandschaft ab.

Wir erinnern:

"Fitnesslandschaft" = Funktion f auf Σ^L (Σ = Zeichenvorrat der
 Genome), im binären Fall auf Hyperwürfel, bzw. auf Σ^* .



Parameter zur Charakterisierung von f :

globaler Durchschnitt $\langle f \rangle$; Varianz: nicht geeignet, da nicht effektiv bestimmbar (Sequenzraum ist i.allg. zu groß)

Autokorrelation:

$$R(s) = \frac{E(f(x_{t+s})f(x_t)) - E(f(x_{t+s}))E(f(x_t))}{\sqrt{\text{Var}(f(x_{t+s}))\text{Var}(f(x_t))}}$$

misst die Korrelation zwischen den Fitnesswerten zweier Sequenzen x_t und x_{t+s} , die durch s Mutationsschritte getrennt sind

– durch lokale Messungen (Stichproben) schätzbar

Pfad-Autokorrelation:

$$\bar{R}(s) = \frac{\langle f(x_0)f(x_s) \rangle - \langle f(x_0) \rangle^2}{\text{Var}(f(x_0))}$$

wobei über alle Pfade, die x_0 und x_s verbinden, gemittelt wird.

Eine Landschaft ist *self-averaging*, wenn $R(s) = \bar{R}(s)$.

Dritte Autokorrelations-Definition:

Abhängigkeit von der Hamming-Distanz d (shortest mutational walk):

$$\rho(d) = \frac{\langle f(x)f(y) \rangle_{\Delta} - \langle f(x) \rangle^2}{\text{Var}(f(x))}$$

(Mittelwertbildung über alle Sequenzen x, y mit Hamming-Distanz d voneinander)

Für sehr hochdimensionale Räume führen fast alle Pfade der Länge s auch zu Sequenzen der Hamming-Distanz s ("few walks backtrack genetically") \Rightarrow dann ist $R(s) \approx \rho(s)$.

Korrelationslänge:

Längenschranke x , so dass alle Sequenzen, die größere Hamming-Distanz als x haben, (annähernd) unkorrelierte Fitness aufweisen.

(nicht für alle Fitnesslandschaften def.)

Beispiele spezieller Fitnesslandschaften:

- $f = \text{const.}$

total flache Landschaft, nur neutrale Evolution möglich
(Referenzfall für ALife-Hypothesenprüfung, vgl. LindEvol)

- f mit einem globalen Maximum und "glatten Flanken", z.B.
 $f(x) = \text{Anzahl der Einsen in } x$:

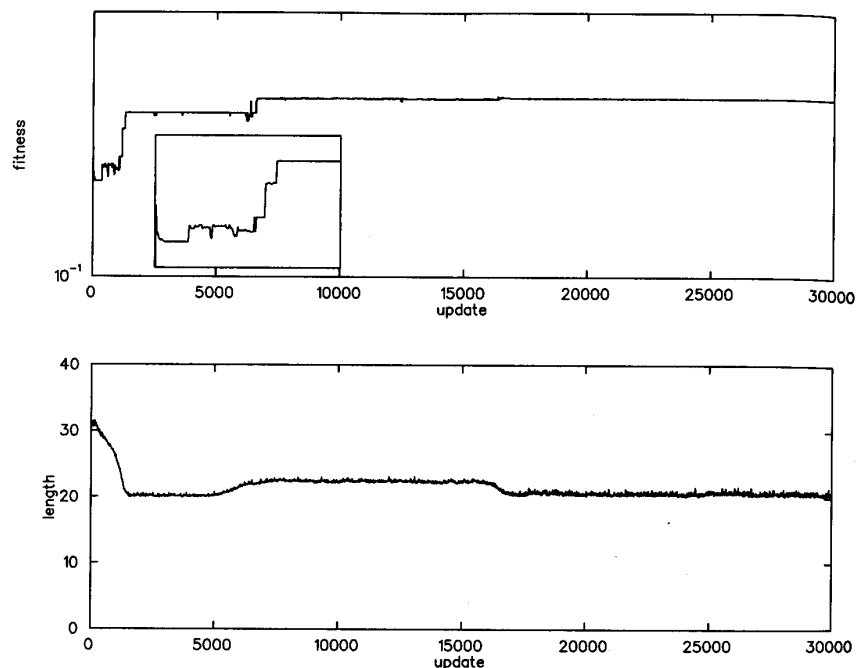
"Fujijama-Landschaft" (Kauffman); Gipfel von überall zu finden

wenn diese Landschaft für *jede* Genomlänge L vorliegt, sind kürzere Genome im Vorteil, da sie das Maximum (im kleineren Sequenzraum) schneller erreichen

⇒ *keine* Annäherung an die Fehlerschranke

Landschaft "zu einfach" für interessante Evolution

Beispiel für Evolution in einer (relativ) einfachen Landschaft (nicht ganz ohne Struktur), Avida-Beispiel (oben Fitness, unten Genom-Länge; aus Adami 1999):



Anderes Extrem:

- $f(x)$ Zufallsvariable, unabhängig von jedem Nachbarstring y .
 $\rho(0) = 1; \rho(1) = \rho(2) = \dots = 0$.

"*Derrida-Landschaft*", random energy model.

Total zerklüftete Landschaft.

Hier ist keine Evolution (durch schrittweise Verbesserung) möglich!

Objekte, die diesem Fall nahekommen:

- kürzeste Rechnerprogramme, kürzeste Formeln

Beschreibungen ohne jegliche Redundanz

⇒ kleine Änderungen im Code führen zu Objekten mit völlig anderer Semantik

⇒ schwere Evolvierbarkeit dieser Objekte mit GA (vgl. Beispiel der Binet'schen Formel für Fibonacci-Zahlen!)

⇒

Notwendigkeit von Redundanzen für die Evolution

vgl. Redundanzen in den Befehlssätzen von Avida, Tierra; Introns in der DNA...

Modell-Fitnesslandschaften, mit denen der Zerklüftungsgrad zwischen den beiden Extremen (Fujijama- und Derrida-Landschaft) getunt werden kann:

NK-Fitnesslandschaften (S. Kauffman)

siehe Kauffman 1995, S. 260 ff.

- die N einzelnen Symbole im Genom-String werden vereinfachend mit "Genen" gleichgesetzt
- jedes Gen liefert einen "Fitnessbeitrag" für das gesamte Genom

- Fitness des Genoms der Länge N = Mittelwert der N Beiträge seiner Gene
- Annahme: der Fitnessbeitrag jedes Gens wird noch von der Ausprägung von K anderen Genen beeinflusst (epistatische Kopplung; vgl. Kap. 5)

Festlegung einer NK -Fitnesslandschaft (wenn N und K , $0 < K < N$, vorgegebene Zahlen sind):

- lege zu jedem der N Gene zufällig K andere Gene als "Inputgene" fest
- für jedes Gen x :
 - lege (stochastisch unabhängig) für jede Allelkombination, die an den $K+1$ beteiligten Genen (x und seine Inputgene) auftreten kann, eine zufällige Zahl (gleichverteilt aus $[0; 1]$) als Fitnessbeitrag von x fest

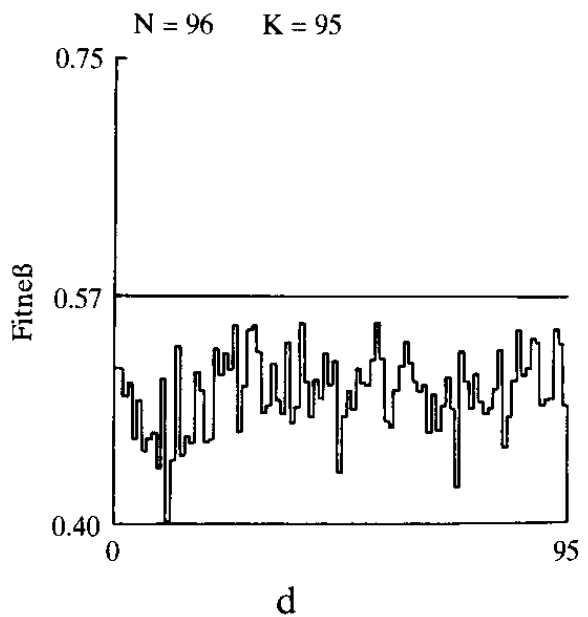
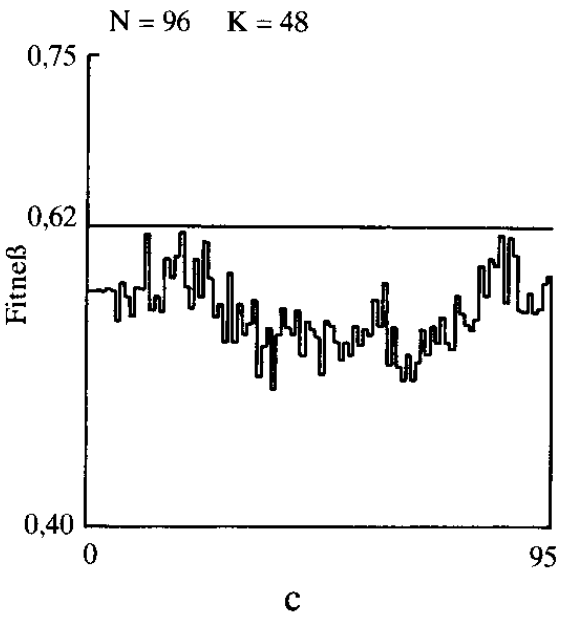
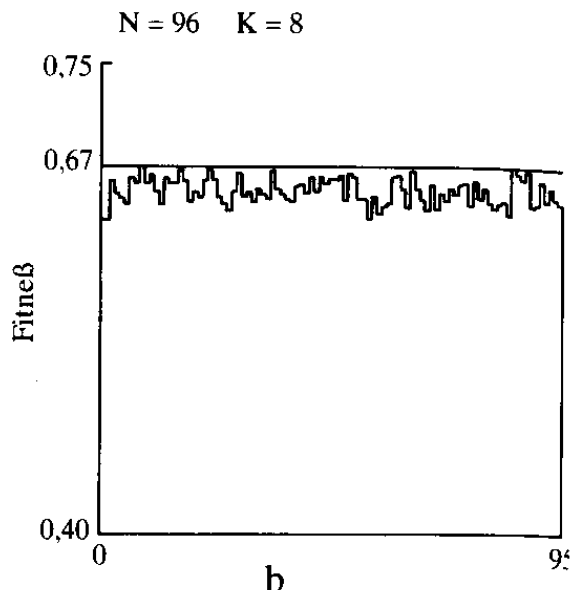
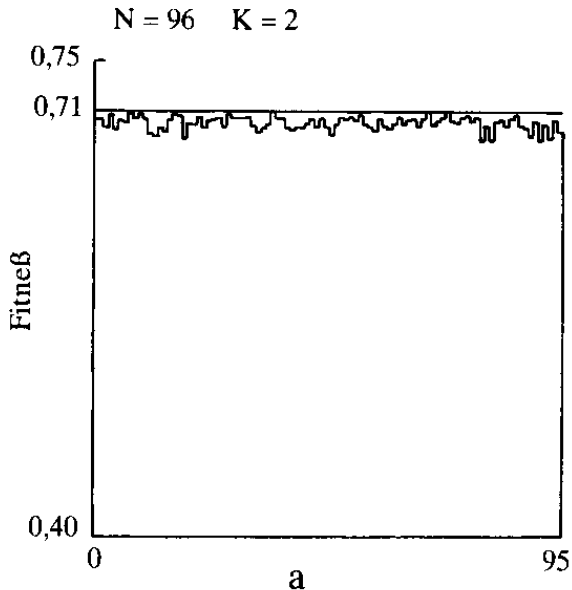
beachte: bei vielen Kopplungen (großes K) kommt es zu vielen "widerstreitenden Bedingungen" (eine Kombination von Genen kann als Input für Gen x dessen Fitness senken, als Input für y dessen Fitness erhöhen...)

Extremfälle:

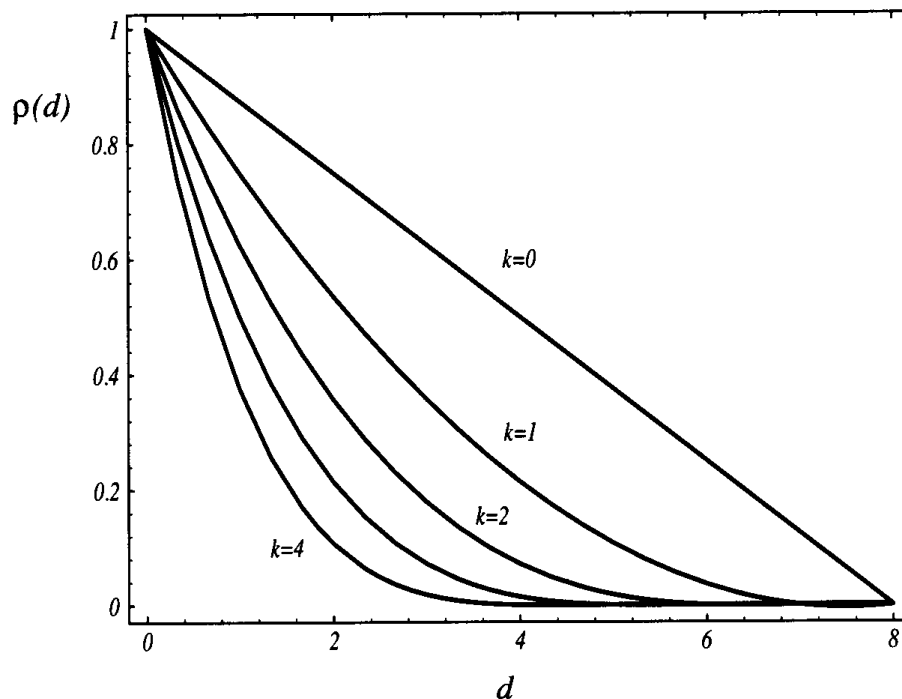
- $K = 0$: keine epistatische Kopplung, jedes Gen liefert seinen unabhängigen (additiven) Beitrag zur Fitness \Rightarrow "Fujijama-Landschaft"
- $K = N - 1$: alle Gene sind mit allen gekoppelt, Fitness des ganzen Genoms ist für jede Allelkombination stochastisch unabhängig festgelegt \Rightarrow Derrida-Landschaft

dazwischen: je größer K , desto zerklüfteter die Landschaft

Darstellung der Nachbarschaft eines lokalen Optimums für 4 verschiedene Werte von K (aus Kauffman 1995):



Autokorrelationsfunktion im NK-Modell ($N = 8$) (aus Adami 1999):



- bei niedrigen K -Werten: Landschaft nichtisotrop, Gipfel häufen sich in spezieller Region
 \Rightarrow für adaptiven Prozess ist es vorteilhaft, diese Region aufzusuchen
- bei hohen K -Werten: Isotropie, hohe Gipfel sind zufällig verstreut

Merkmal mittelstark zerklüfteter NK-Landschaften:

die höchsten Gipfel können von der größten Zahl an Ausgangspositionen erklommen werden (mit Gradientenmethode, d.h. ohne zwischendurch abzustiegen)

Bei Invertierung der Landschaft (Gipfel \rightarrow Täler) würde man sagen: die tiefsten Täler entwässern die ausgedehntesten Einzugsgebiete

Beispiel $N = 24$, aufgetragen ist Anzahl der Ausgangspositionen für ein lokales Maximum gegen dessen Fitness-Wert (aus Kauffman 1995):

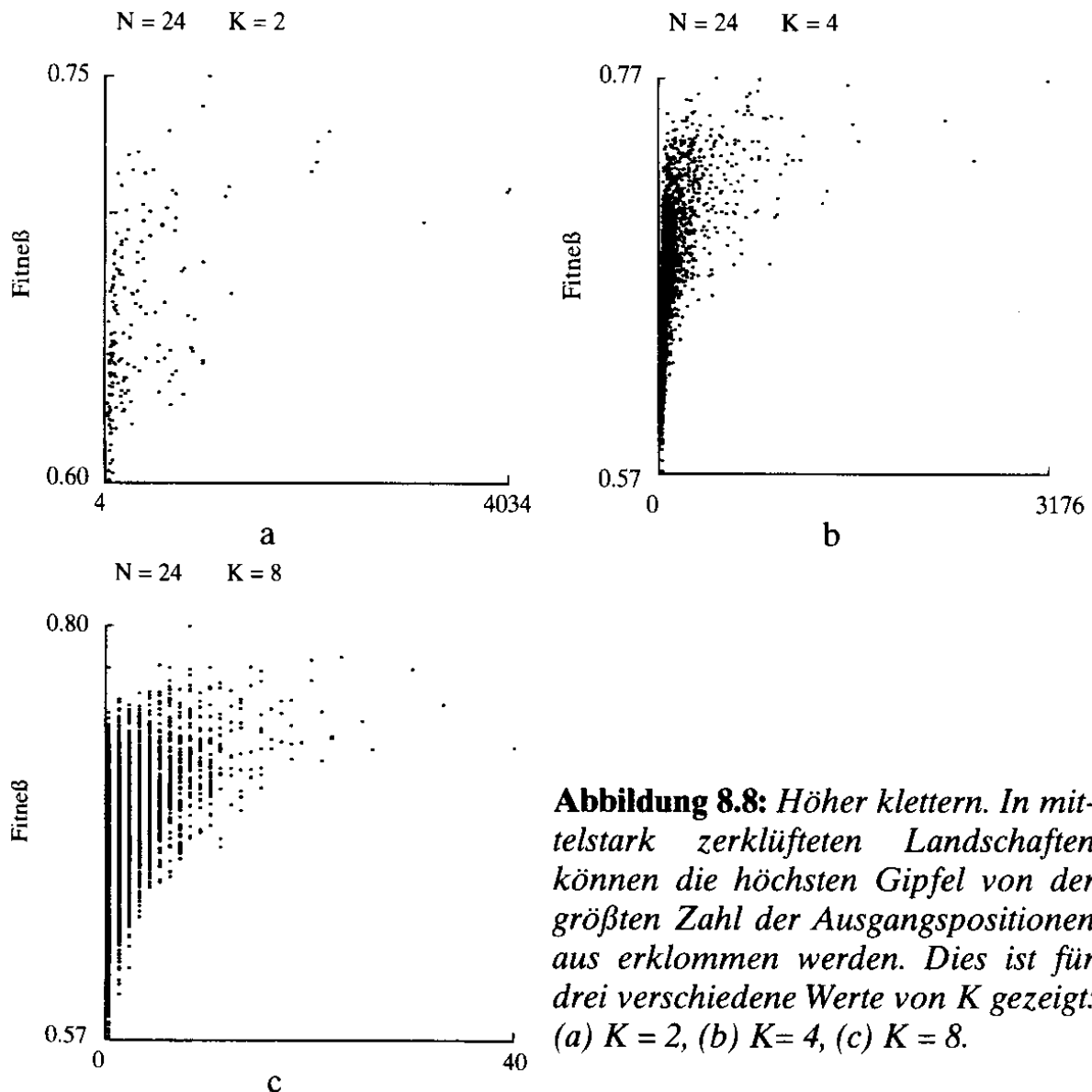


Abbildung 8.8: Höher klettern. In mittelstark zerklüfteten Landschaften können die höchsten Gipfel von der größten Zahl der Ausgangspositionen aus erklommen werden. Dies ist für drei verschiedene Werte von K gezeigt: (a) $K = 2$, (b) $K = 4$, (c) $K = 8$.

⇒ "günstig" für Evolution!

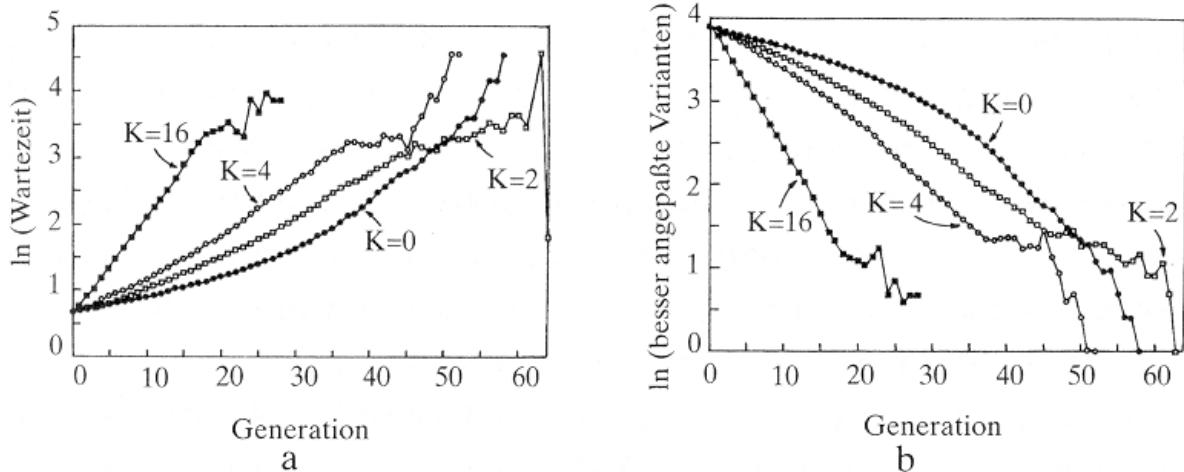
Wie verhält sich die Anzahl b der benachbarten Genome höherer Fitness während eines Aufstiegs?

- $K=0$ (Fujijama-Situation): lineare Abnahme
- für mittelstark bis stark zerklüftete NK -Landschaften (ab ca. $K = 8$): Abnahme um konstanten Faktor

⇒ im letzteren Fall nimmt Anzahl der nötigen Versuche, um ansteigenden Pfad zu finden, um konst. Prozentsatz zu

"Weg wird am Gipfel immer beschwerlicher"

"Abnehmende Erträge" der Anpassung



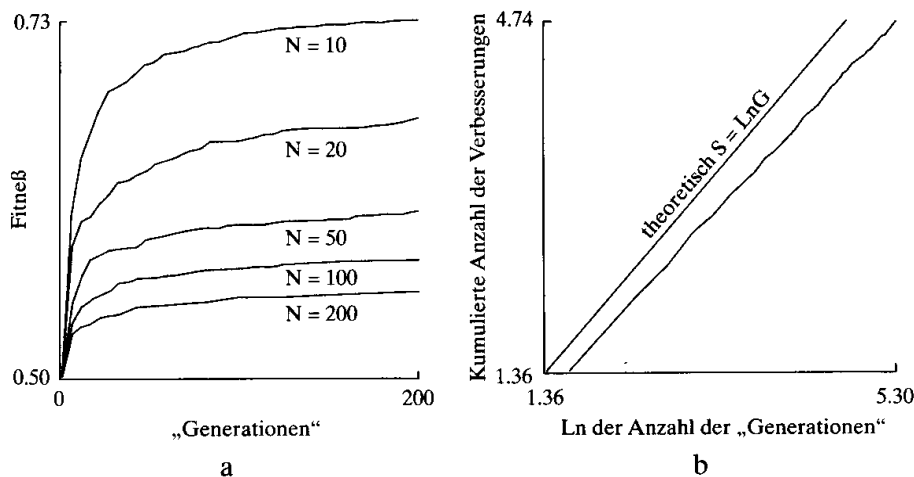
⇒ exponentielle Verlangsamung der evolutiven Optimierung, beobachtbar bei natürlicher und bei technologischer Evolution

- diese Betrachtungen galten für Wanderungen mit "kleinen Schritten" in der Landschaft (adaptive walks)
- es sind auch größere Sprünge denkbar (Mutationen an mehreren Genen gleichzeitig)
- "Weitsprünge": Distanz größer als die Korrelationslänge

hier gilt ebenfalls das exponentielle Verlangsamungsgesetz (schon für kleinere K):

jedesmal, wenn man eine "Weitsprung"-Variante höherer Fitness gefunden hat, verdoppelt sich die Anzahl der Versuche, um eine noch bessere Weitsprung-Variante (vom neuen Ort aus) zu finden

Beispiel $K = 2$: (x-Achse: kum. Anzahl unabh. Weitsprungversuche)



aus Bild a wird auch noch ersichtlich: bei größerer Genomlänge N erzielen Weitsprung-Adaptationen immer schlechtere Ergebnisse.

- "Komplexitätskatastrophe": je komplexer (länger) das Genom, umso schwieriger ist es, tiefgreifende vorteilhafte Veränderungen anzuhäufen.

Aus den Beobachtungen zur Anpassungsdynamik in NK -Landschaften (mit mittlerem K) folgt:

"3 Phasen der Evolution"

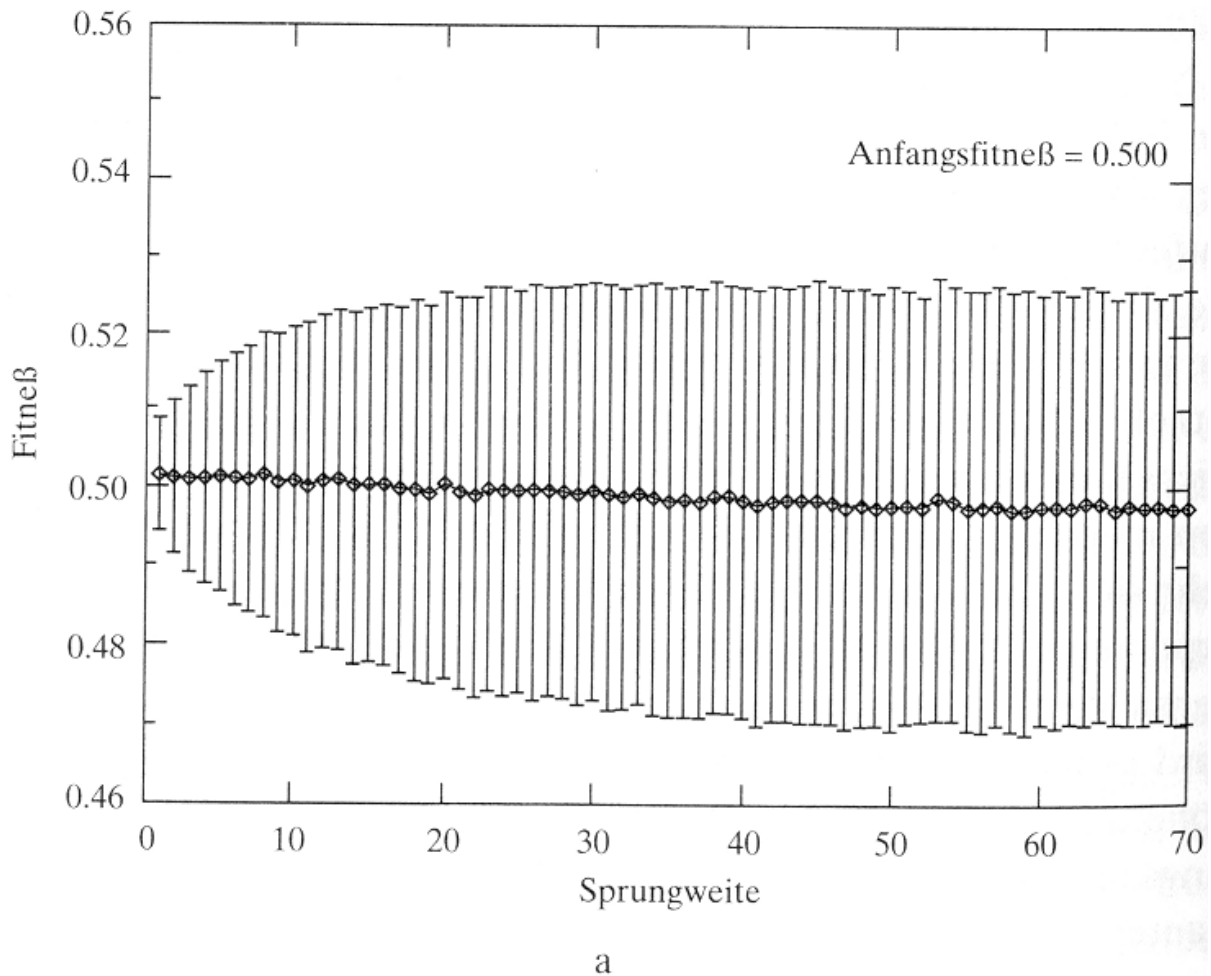
Die Ausgangsposition habe eine mittlere Fitness.

1. Phase: in der engen Nachbarschaft gibt es nur geringfügig höhere Fitnesswerte, in Entfernungen jenseits der Korrelationslänge aber evtl. Stellen mit sehr viel höherer Fitness
⇒ wenn einige Adaptationsvarianten die Umgebung absuchen und einige Weitsprünge vollführen, sind in dieser Phase die Weitsprünge bald erfolgreich (in der Regel sogar mehrere ganz verschiedene Varianten!)
⇒ *Radiation* (Entstehung zahlreicher ganz neuer Baupläne; vgl. kambrische Explosion)

2. Phase: Wartezeit für bessere Weitsprung-Varianten nimmt exponentiell zu; Prozentsatz der besseren Varianten in der Nähe nimmt aber langsamer ab ⇒ Evolution macht nur noch kleine Sprünge (Verfeinerung der bestehenden Baupläne)

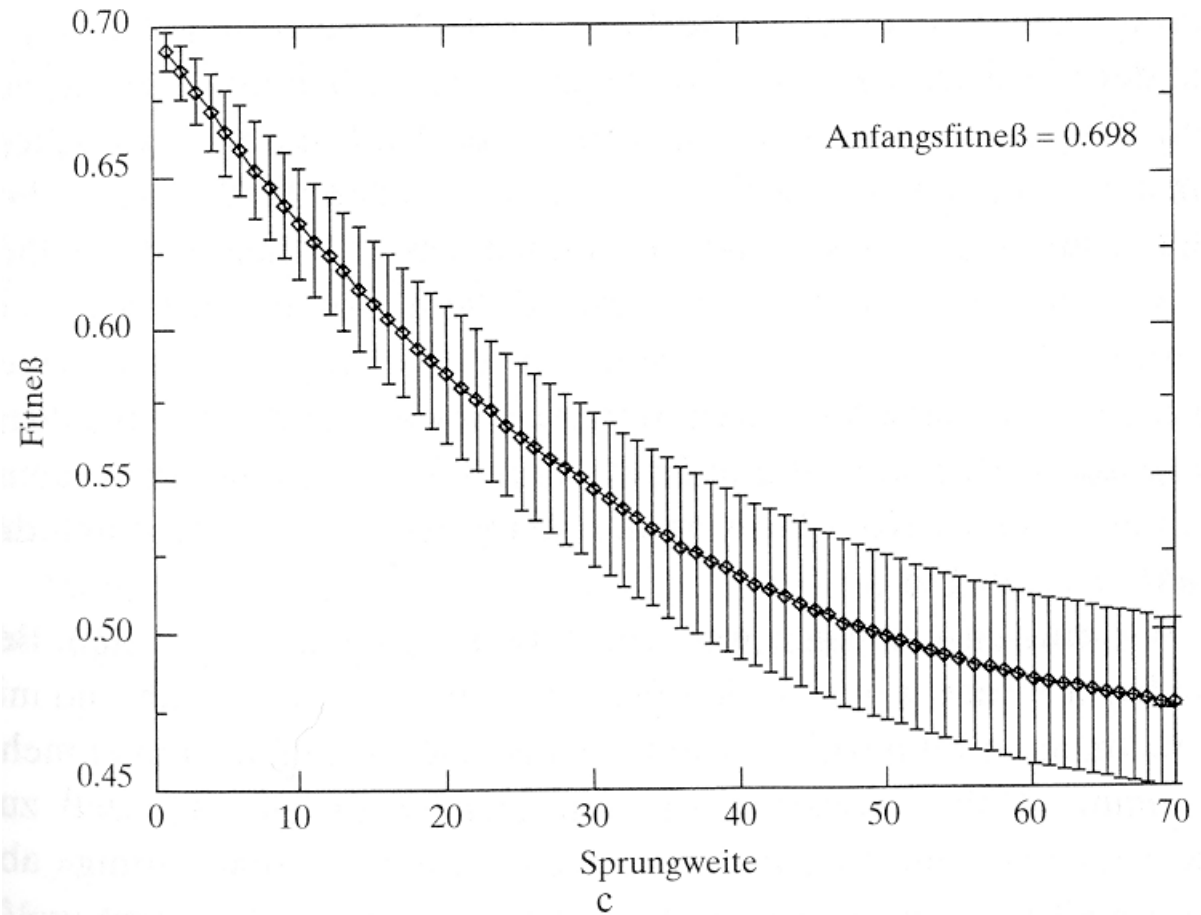
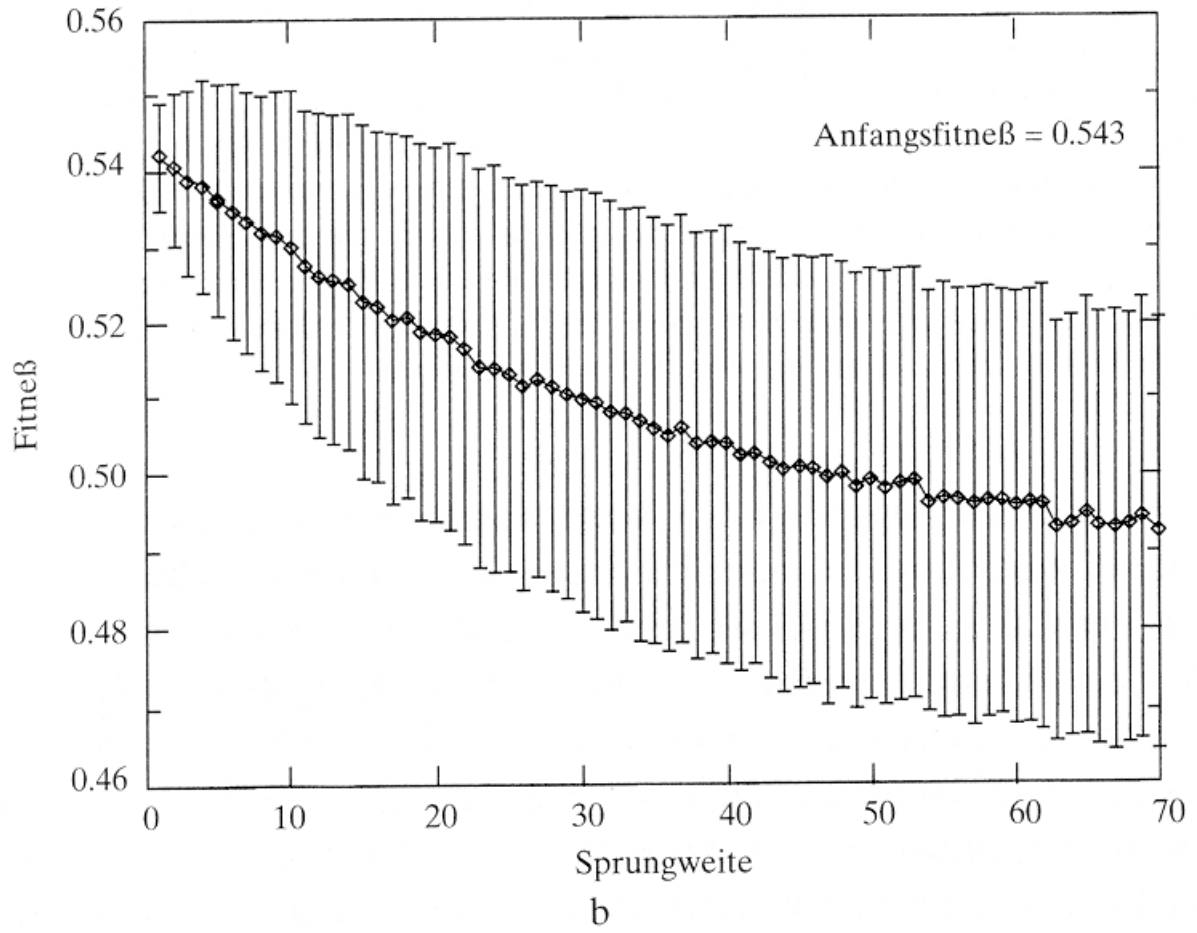
3. Phase: Evolution festgefahren auf lokalen Gipfeln, oder Wanderung entlang Graten hoher Fitness, oder Landschaft ändert ihre Form und Populationen folgen den sich verschiebenden Gipfeln

Beziehung zwischen Sprungweite und erreichbarer Fitness
(Balken = Standardabweichung) auf Basis von jeweils 1000
Versuchen
(in korrelierter *NK*-Landschaft; aus Kauffman 1995):



bei höherer Ausgangsfitness ändert sich das Bild:

je mehr die Fitness ansteigt, desto ratsamer ist es, die nähere
Umgebung abzusuchen



Evolution durchläuft die Fitnesslandschaft "blind"

"Gottes Perspektive": globale Kenntnis der Fitnesslandschaft
– praktisch niemals erreichbar

Bedeutung der Sexualität:

durch *Rekombination* können Genomzustände auf mittleren Distanzen *zwischen 2 Genomen* getestet werden

⇒ ermöglicht Annäherung an eine globalere Sicht

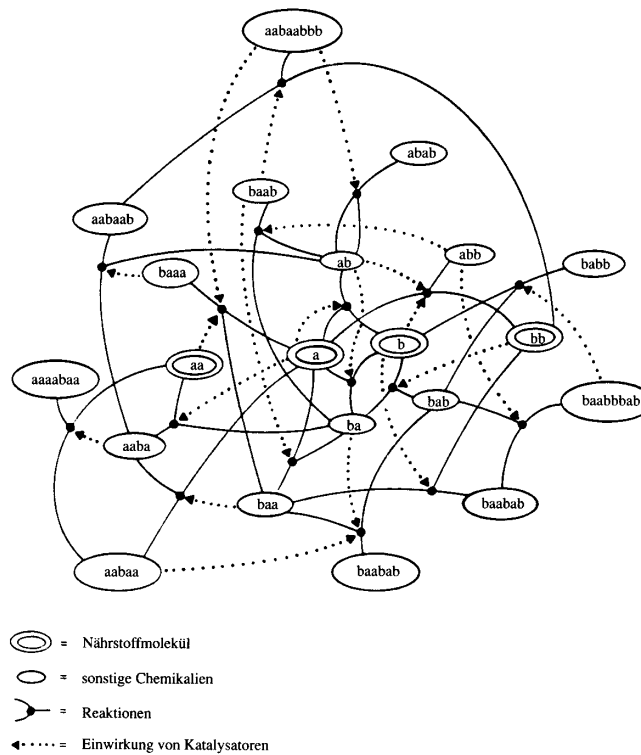
- Rekombination erhöht Adaptationsrate in korrelierten *NK*-Fitnesslandschaften
- nicht in der Derrida-Zufallslandschaft

dass sich Sex weitgehend durchgesetzt hat:
ein Zeichen, dass die Fitnesslandschaften der realen Biologie
genügend korreliert sind, so dass Sex von Vorteil ist!

Stabilität autokatalytischer Netzwerke

(Kauffman 1995)

wir hatten in Kap. 3 gesehen:
autokatalytische Abgeschlossenheit stellt sich in metabol.
Zufallsnetzwerken mit wachsender Reaktanden-Zahl
"automatisch" ein



– aber: sind diese Netzwerke stabil?
kleine Konzentrationsänderung eines Reaktanden könnte
weitreichende, "globale" Wirkungen haben (chaotisches
Regime)

erforderlich für Leben:
"innere Homöostase" – Ausgleich von Fluktuationen

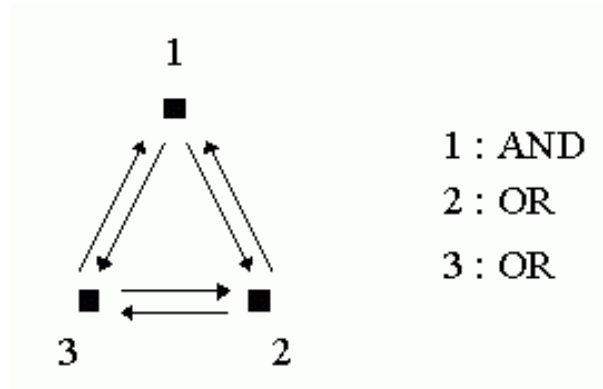
Untersuchungen hierzu anhand idealisierter Modelle:

Boolesche Zufallsnetzwerke

- nur 2 Enzymzustände: "aktiv" (1) und "inaktiv" (0)
- der Zustand jedes Enzyms hängt von K anderen Substanzen ab
- Abhängigkeit wird durch Boolesche Funktion beschrieben

Beschreibung der Netzwerkstruktur durch Netzwerk von N zufällig verschalteten, zufällig ausgewählten Booleschen Funktionen mit K Inputs

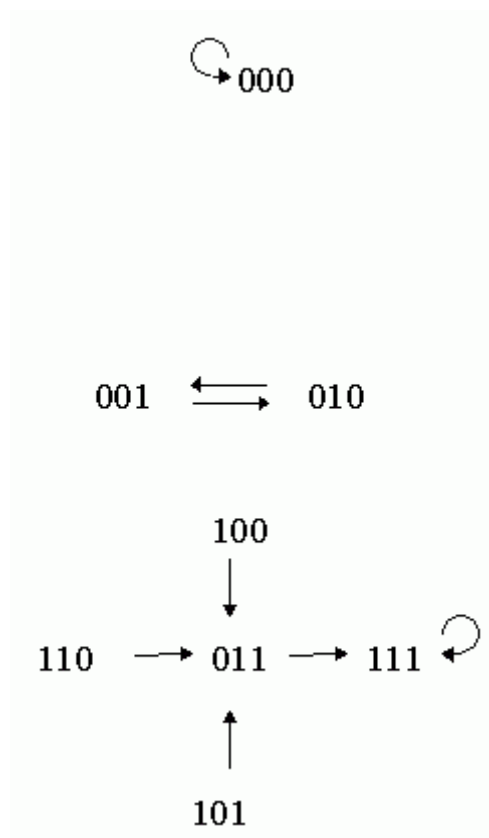
Beispiel:



hier $N = 3, K = 2$

⇒ jeder Zustand (des gesamten Netzwerkes, d.h. durch bin. N -Tupel beschreibbar) hat eindeutig def. Nachfolgezustand

im obigen Beispiel:



(Zustandsraum mit 2^N Zuständen)

(000) ist hier instabiler, stationärer Zustand

{(001), (010)} ist instabiler Zustandszyklus der Länge 2

(111) ist stabiler Attraktor (bei 1 Bit Mutation gelangt man nach endlich vielen Schritten wieder in diesen stationären Zustand)

- wieviele Attraktoren gibt es?
- wie groß sind die Attraktionsbereiche (Einzugsgebiete)?
- wieviele Attraktoren sind stabil gegen Mutationen / stabil gegen Änderung einzelner Boolescher Funktionen?

"homöostatische Stabilität" bedeutet:

kleiner Zustandszyklus mit riesigem Attraktionsbereich, der fast den gesamten Zustandsraum erfasst

Ergebnisse:

wichtigster Steuerparameter ist K (Zahl der Inputs)

$K = 1$: sehr kurze Zustandszyklen, schnelles "Einfrieren" des Netzwerks

$K = N$: Länge der Zustandszyklen $\approx \sqrt{2^N} = 2^{N/2}$

Zahl der Attraktoren $\approx N/e$

stark chaotisches Verhalten

$4 \leq K \leq N$: ebenfalls vorwiegend chaotisches Verhalten

$K = 2$: geordnetes Verhalten:

Länge der Zustandszyklen nur $\approx \sqrt{N}$

(das ist extrem kleiner Teil des ges. Zustandsraumes!)

nach wenigen Schritten entsteht riesige "eingefrorene Komponente", wo sich nichts mehr ändert

Benachbarte Zustände konvergieren im Zustandsraum

Stabilität gegenüber kleiner Änderung der Verdrahtung oder der Logik

zweiter Parameter P

kann verwendet werden, um auch in Zufallsnetzwerken mit $K > 2$ spontane Ordnung "zu erzwingen"

P mittelt für alle Booleschen Funktionen im Netzwerk den proportionalen Anteil des jeweils häufigeren Outputwertes (0 oder 1)

P bei 0,5: Netzwerk im chaotischen Regime

$P \rightarrow 1$: Netzwerk zunehmend geordnet

Durch Änderung von K und P Übergänge vom chaotischen ins geordnete Regime möglich

- im chaotischen Regime: großer Bereich, wo sich Zustände unregelmäßig ändern, darin kleine stabile Inseln
- im geordneten Regime: große gefrorene Komponente, darin kleine Inseln, wo noch Veränderungen stattfinden
- am Chaosrand: "Kontaktbahnen" zwischen den nicht-eingefrorenen Inseln; Signalkaskaden können durch das System wandern, ohne dass es völlig chaotisch wird

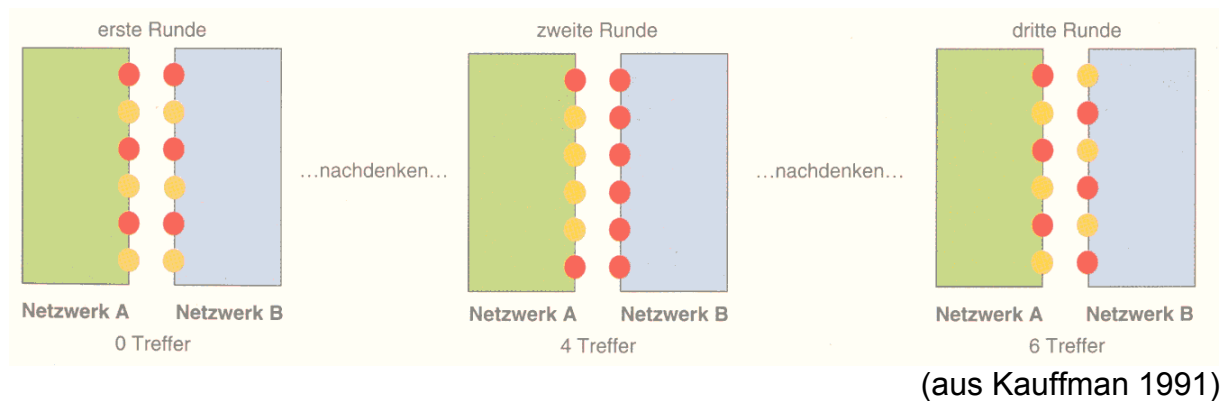
Hypothese:

Autokatalytische Netzwerke evolvieren durch Veränderung der Parameter K und P ins geordnete Regime nahe des Chaosrandes

Grund: Systeme, die zu komplexem Verhalten fähig sind, haben Überlebensvorteil

experimenteller Test an Booleschen Zufallsnetzwerken, die "gegeneinander spielen" (GA-Anwendung; Mutationen: Änderungen der Verdrahtung und der Booleschen Regeln) (Macready, Kauffman et al.)

→ Evolution zum geordneten Regime, aber unweit des Chaosrandes



Weitere Möglichkeit, geordnetes Verhalten zu begünstigen:

Wahl von "kanalisierenden" Booleschen Funktionen (eine der Inputvariablen legt, wenn sie einen bestimmten Wert hat, bereits den Output fest – Beisp. "oder", "und", "nand"; nicht aber "xor").

Boolesche *NK*-Zufallsnetzwerke auch als Modelle für andere (verwandte) Arten von Netzwerken:

Netzwerke der Genregulation

hier: Knoten mit booleschen Funktionen = Gene, Verknüpfung = epistatische Kopplung

Genome höherer Lebewesen:

- in erster Näherung durch *NK*-Zufallsnetzwerke mit $K = 2$ und "oder"-Funktionen beschreibbar
- die meisten Gen-Wechselwirkungen sind jedenfalls durch *kanalisierende* Funktionen charakterisiert

Stabilität gegen Mutationen empirisch:

- eine durch ein Hormon herbeigeführte Mutation eines Gens bei der Taufliege (*Drosophila*) führt zu einer Kaskade von 150 Veränderungen der Genaktivitäten der über 5000 Gene der Fliege.
- Bei entspr. Computersimulationen mit *NK*-Zufallsnetzwerken ($N = 5000, K = 2$) wurde ein Wert von 160 vorausgesagt.

(Schöneburg et al. 1994)

Genregelungsnetze für die Zelldifferenzierung bei Mehrzellern

Spezialfall der obigen Anwendung

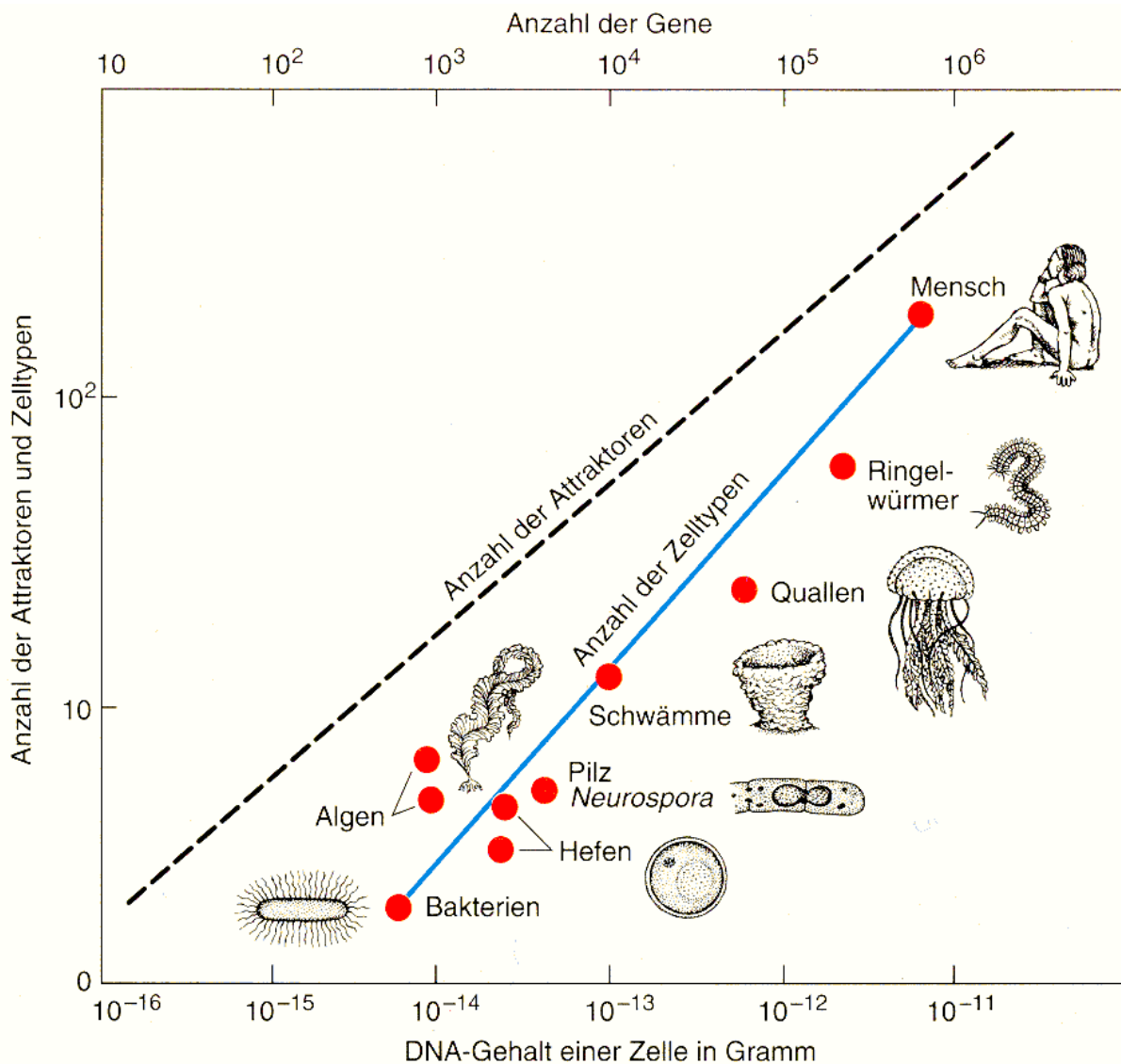
Knoten = Gene, stabile Aktivitätsmuster (Attraktoren) = stabile Muster der Genexpression, entsprechend den Zelltypen

- bei 100 000 Strukturgenen hätte man theoretisch $2^{100\,000}$ mögliche Aktivitätsmuster
- wenn das Netzwerk im geordneten Regime ist, gibt es jedoch im Mittel nur $\sqrt{100\,000} \approx 317$ Attraktoren, die kurze Zustandszyklen aufweisen

empirisch:

Drosophila: 15 000 Strukturgene, 60 Zelltypen

Mensch: ca. 100 000 Strukturgene, 256 Zelltypen



Komplexitätsmaße

Entropie: statistischer Begriff, nicht anwendbar auf 1 einzelnes Genom

aber: einige Strings erscheinen komplexer (irregulärer) als andere

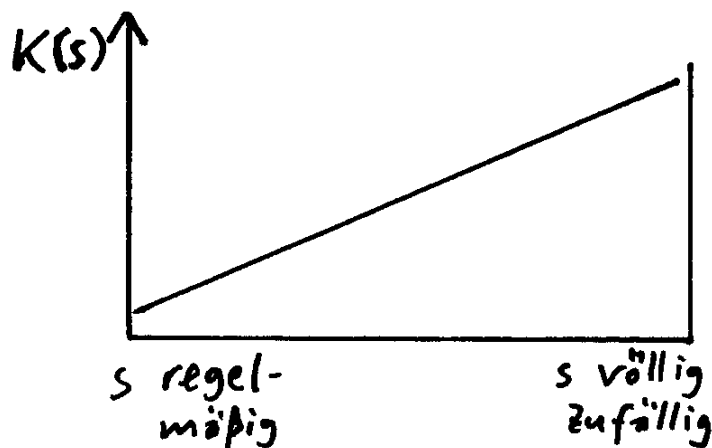
Kolmogorov-Komplexität

(Kolmogorov 1965; manchmal auch Chaitin-Komplexität, Chaitin 1966):

$K(s)$ = Länge des *kürzesten Programms*, das erforderlich ist, um den String s zu berechnen (mittels einer universellen Turingmaschine T)

regelmäßige Strings s , z.B. 0000... oder 010101...: kleines $K(s)$

"Zufalls-Strings": großes $K(s)$; s völlig zufällig: $K(s) \approx \text{Länge}(s)$.



$K(s)$ als Komplexitätsmaß 1. Ordnung

Nachteile:

- "echten" Zufalls-Strings will man keine große Komplexität zubilligen ("Würfeln" ist nicht sehr kompliziert!)
- Regularität eines Strings sagt noch nichts über Komplexität der Bedeutung aus (Art der Codierung hat Einfluss)

Beisp. (Latein):

TETEROROMAMANUNUDADATETELALATETE

= bedeutungsvoller Satz

notwendig: Einbeziehung eines Kontexts /
Bedeutungszusammenhangs / eines Universums

formal: gegebener String u , der das "Universum" repräsentiert

Bedingte Komplexität (conditional complexity, Kolmogorov 1983):

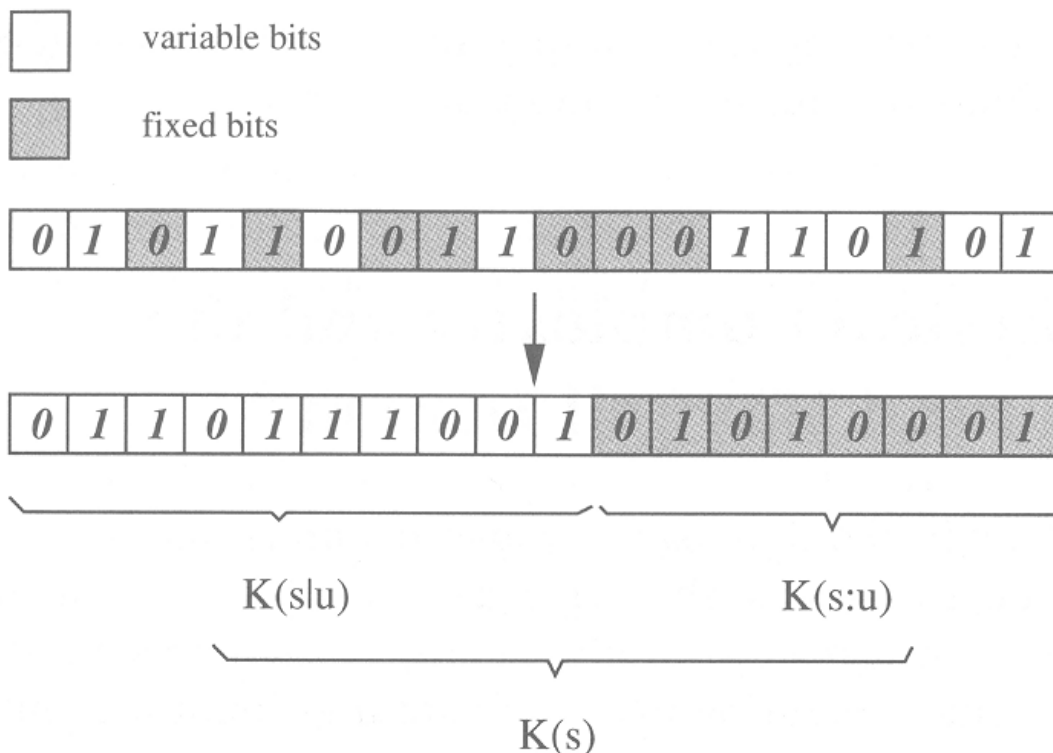
$K(s | u)$ = Länge des kürzesten Programms, das s berechnet,
wenn die Turing-Maschine u als Input erhält.

- misst die "verbleibende Regellosigkeit" in s , wenn u bekannt ist
- zählt diejenigen Bits in s , die nicht mit Bits in u "korreliert" bzw. durch u redundant gemacht sind

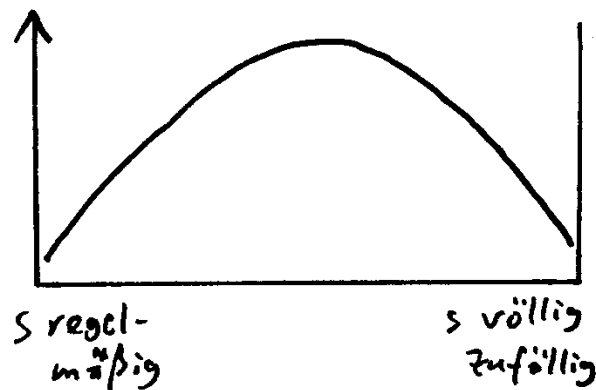
Wechselseitige Komplexität (mutual complexity; auch:
physikalische Komplexität, Adami 1998):

$$K(s : u) = K(s) - K(s | u)$$

misst die Anzahl der Bits, "die im Universum u etwas bedeuten"
bzw. durch Berechnung aus u entstanden sein können



$K(s : u)$ ist ein "Komplexitätsmaß 2. Ordnung":



(wobei "Zufälligkeit" hier nur in Bezug auf u definiert werden kann und i.allg. unentscheidbar ist.)

Physikalische Sichtweise:

Gewinnung von s aus u (mittels einer universellen Turingmaschine) kann als Messvorgang im durch u beschriebenen Universum U angesehen werden

Zusammenhang zwischen Kolmogorov-Komplexität und Shannon-Entropie:

Durchschnittliche Kolmogorov-Komplexität einer Menge S von Strings entspricht der Entropie.

$$H(S | u) = \langle K(s | u) \rangle_S = - \sum_s p(s | u) \log p(s | u),$$

entspr. für die wechselseit. Information (Shannon)
(Information über u in S):

$$I(S : u) = H(S) - H(S | u) = \langle K(s : u) \rangle_S$$

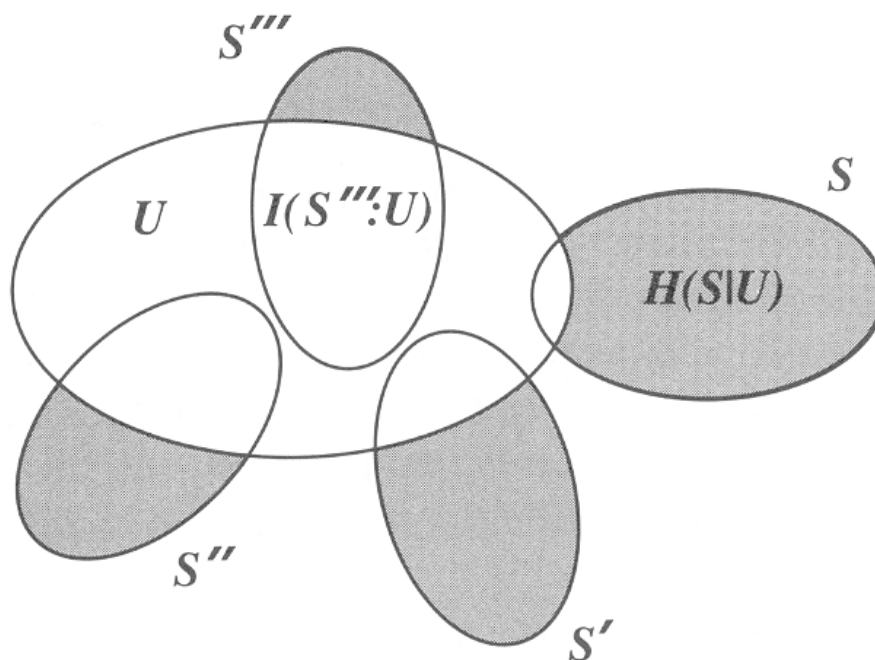
(s. Adami 1998, S. 127 ff.)

Jede Berechnung (Messung) reduziert die bedingte Entropie von S und vergrößert die über U gewonnene Information, die in der Menge S der Strings enthalten ist.

Wenn unter Einfluss von Mutationen ein Bit in s , das vorher "zufällig" (in Bezug auf U) war, jetzt auf eine Eigenschaft von U antwortet ("bessere Anpassungsleistung"), d.h. aus U durch Berechnung (Messung) gewonnen werden kann,

so repräsentiert dieses Bit jetzt *Information* (über das Universum U).

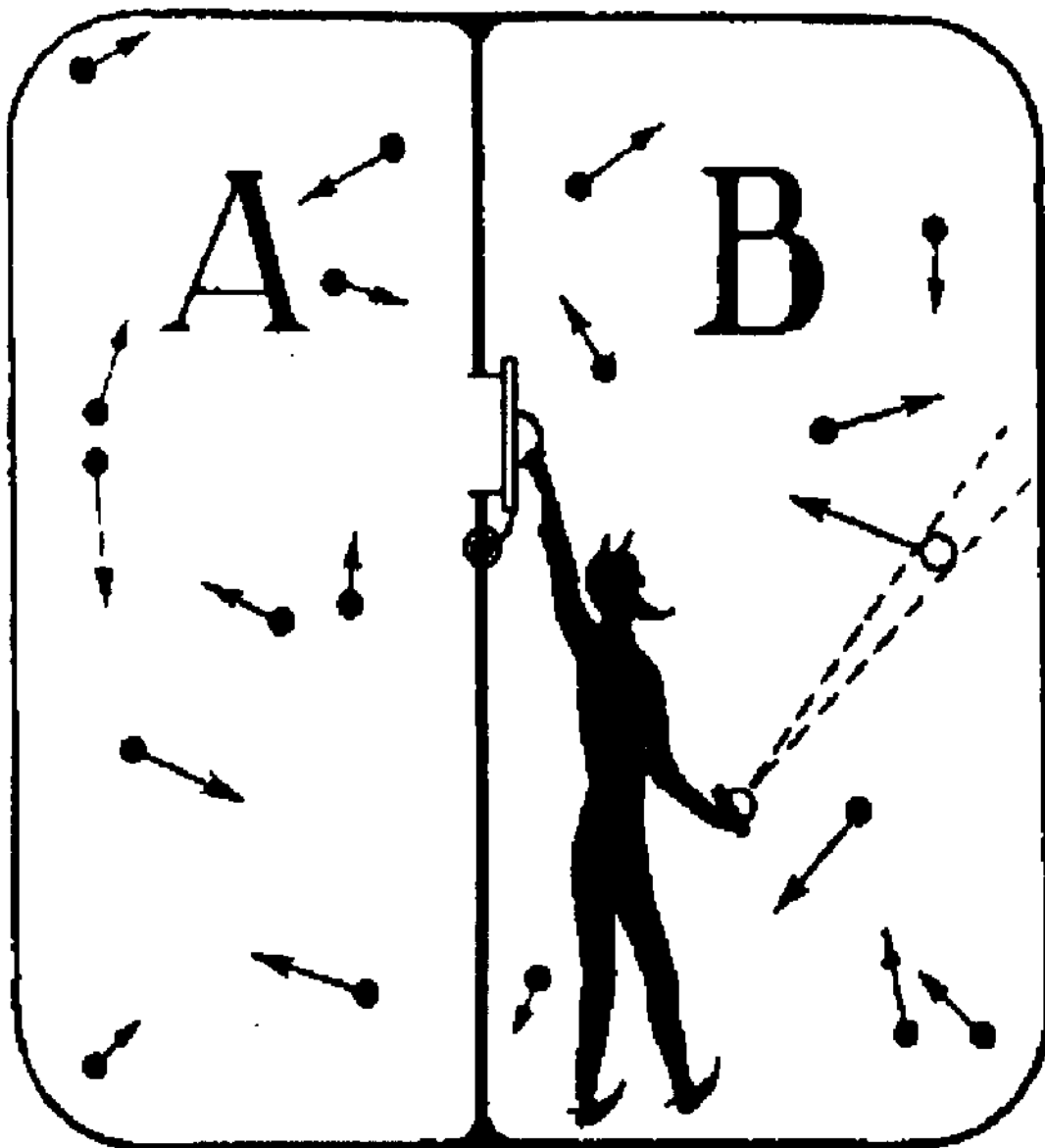
Evolution einer Menge von Strings $S \rightarrow S' \rightarrow S'' \rightarrow S'''$ als Prozess der Abnahme der bedingten Entropie von S und der Zunahme der Information über U
 ($H(S) = H(S|U) + I(S : U)$):



- Mutationen als fortlaufende, spontane Messungen
- immer, wenn eine Messung erfolgreich war, nimmt die (konditionale) Entropie der String-Population ab und die Information zu
- "bedeutungsvolle" Bits bleiben in S erhalten aufgrund der Selektion

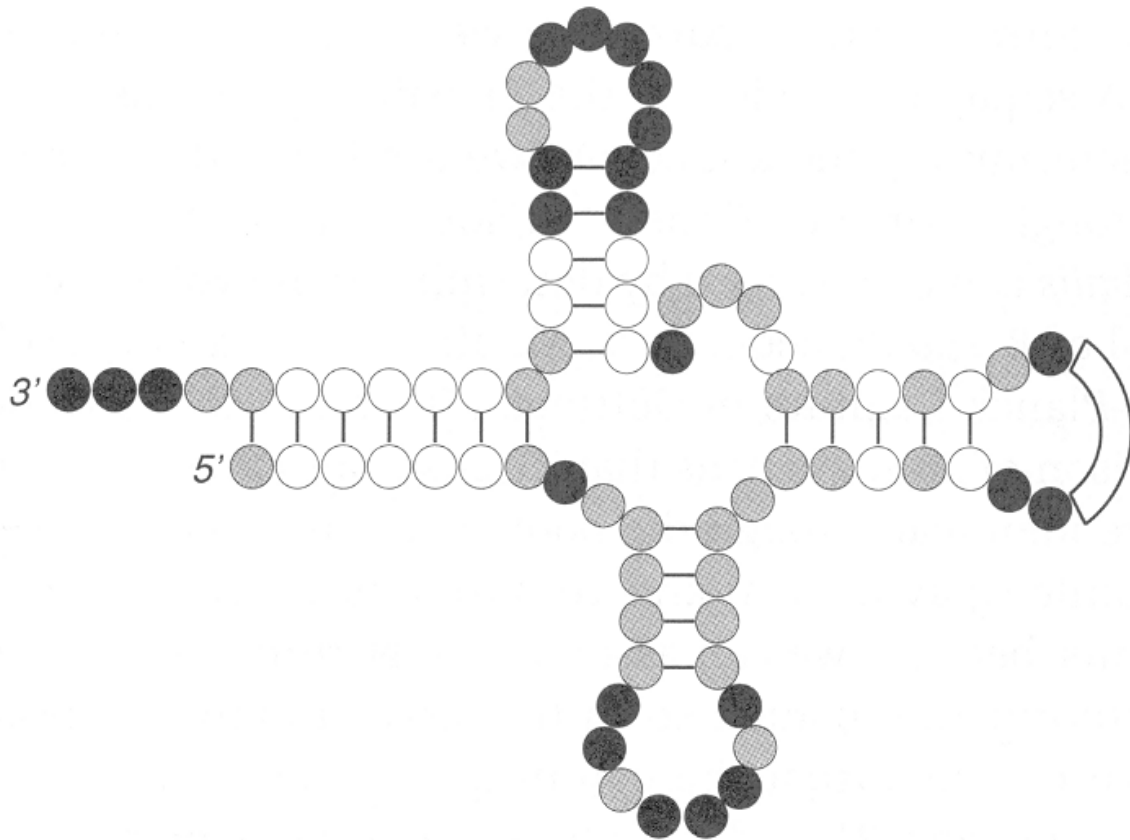
Analogie zum klassischen *Maxwell'schen Dämon* aus der Thermodynamik (Maxwell 1871):

an Elementen einer Population (Teilchen) in einem Behälter werden Messungen durchgeführt; durch Öffnen und Schließen einer Klappe gelangen nur "schnelle" (hier: in U erfolgreiche) Elemente in die andere Hälfte des Behälters. Dadurch Abnahme der Entropie im System (Zunahme der Wärmedifferenz zwischen den Hälften A und B).



- im Unterschied zum klassischen Maxwell'schen Dämon (der physikalisch nicht möglich ist) verkleinert der Dämon der Evolution nur die *bedingte* Entropie.

Klassifikation von "informationstragenden" und "zufälligen" Nukleotiden am Beispiel der tRNA (Molekül seit ca. 4 Milliarden Jahren evolviert, in zahlreichen Arten sequenziert):



schwarz: unveränderte Positionen

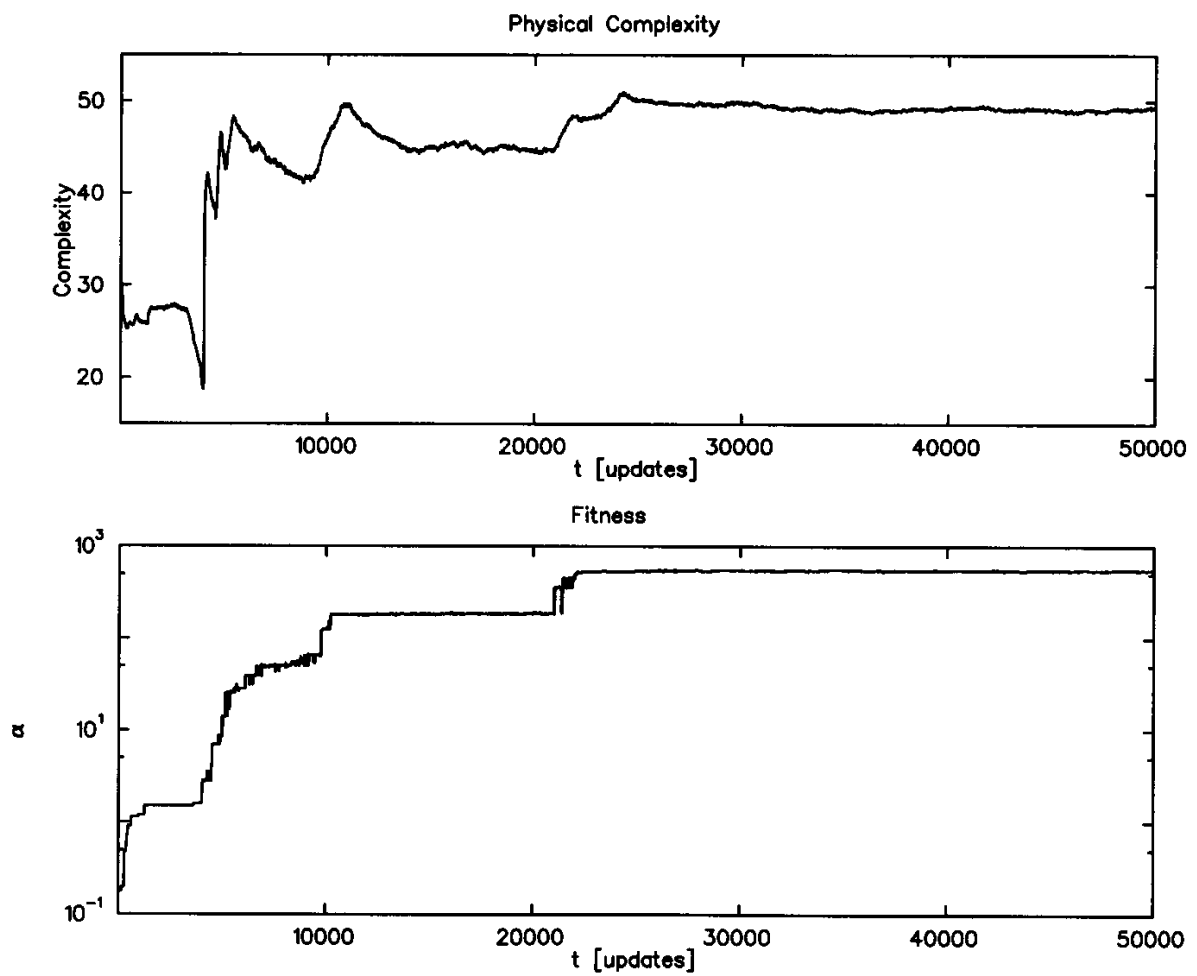
grau: Positionen, die schwacher Veränderung unterliegen

weiß: hoch veränderliche Positionen

(Adami 1998, nach Eigen 1989)

⇒ Komplexität der tRNA liegt zwischen 21 (schwarz) und 42 (schwarz + grau) Bits (wenn nur Basen A/U vs. G/C unterschieden werden)

Entwicklung der physikalischen Komplexität in ALife-Experimenten (hier: Avida; Adami 1998):



(oben: Komplexität, unten: Fitness)